

鹿児島大学工学部 正員 北村良介
同上 正員 春山元寿
名古屋大学大学院 学生員 三隅浩二

1. まえがき

Atkinsonらが著した教科書の中でも Cambridge Model の砂質土への適用が論じられていく。本報告では、その1で得られた実験結果とともに、Atkinsonらが述べている理論展開の妥当性を検討し、過圧密粘土や通常の拘束圧での砂質土の力学的挙動を弾・塑性理論を用いた力学モデルによること表現する手法について考察を加える。

2. 砂質土への Cambridge Model の適用

2.1 Cambridge Model

図-1は $p-p'$ 空間に示された状態曲面であり、Cambridge Model を視覚的にあらわしたものである。正規圧密領域の応力状態の材料は図中の Roscoe曲面上にあり、Cam-clay Model, Modified Cam-clay Model の場合 Roscoe曲面はそれぞれ次式であらわされる。

$$\text{Cam-clay: } \frac{p}{p'} = \frac{M p'}{C_c - C_s} \left\{ 2.3 P + C_c - C_s - 2.3 (v + C_c \log p') \right\} \quad (1)$$

$$\text{Modified: } \frac{p}{p'} = \frac{N - v}{C_c \log p'} = \left\{ \frac{M^2}{\{ M^2 + (3/p)^2 \}} \right\}^{1-C_s/C_c} \quad (2)$$

ここで、 M : 限界状態での応力比 σ/σ_0 , C_c : 压縮指數, C_s : 膨潤指數,

N, P : 単位の p' に対する正規圧密面線, 限界状態線上の体積比 v 。

図-2は、図-1の状態曲面を $p-p'$ 面へ投影したものであり、Hvorslev曲面は、 $p-p'$ 面上では図-2に示すように直線となる。Hvorslev曲面は、限界状態における Roscoe曲面と一致するものとすると、次式のようになる。

$$p'/p' = (M-h) \cdot 10 \frac{p-p_e}{C_c} + h \quad (3)$$

ここで、 h : 図-2における Hvorslev曲面の傾き,

v_e : 単位の p' に対する体積比(図-3, 4中の v_e に相当), すなわち,

$$v_e = v + C_c \log p' \quad (4)$$

粘性土の力学的挙動を整理する際、等価圧密力を正規化するところよく行われる。砂質土の場合には、供試体の初期状態にバラリキが多く、正規圧密曲線の位置が明確でないことが多い。そこで、Atkinsonらは図-3に示すように単位の p' で図-1に示した状態曲面をとり、その断面(標準断面)へせん断過程での応力状態を投影してある。図-4は標準断面での Roscoe曲面、Hvorslev曲面、限界状態線の関係を示したものである。本報告でも、この手法にてとり、その上で得られた実験データを用い、砂質土への Cambridge Model の適用について検討する。

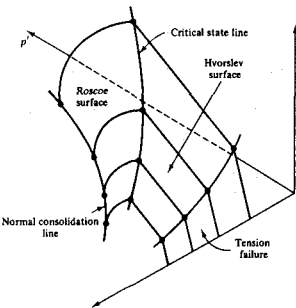
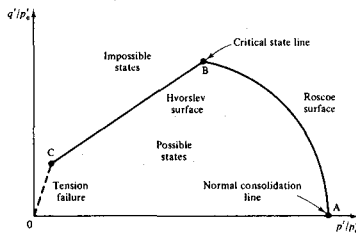
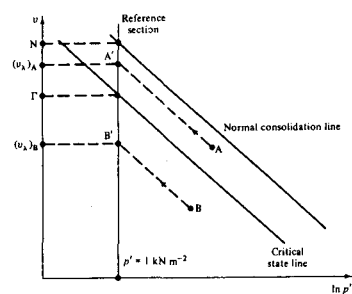
図-1 $p-p'$ 空間に示した状態曲面図-2 $p-p'$ 面での状態曲面

図-3 標準断面への投影

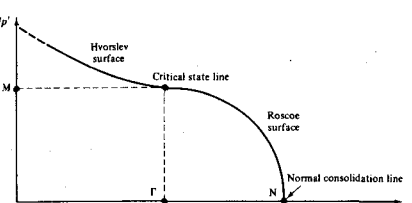


図-4 標準断面での Roscoe曲面, Hvorslev曲面の関係

2.2 土質定数の決定

i) C_c, C_s, P : 「その1」の図-1に示した $\sigma' \sim \log \frac{d}{dr}$ の関係より正規圧密曲面、崩壊曲線の傾きを求めると、 $C_c = 0.652$, $C_s = 0.025$ となる。三浦²⁾が求めた豊浦砂に対する C_c は 0.373, C_s は 0.041 であり、しらすは豊浦砂に比べると C_c は大きく、 C_s は小さい値に等しい。³⁾ また、同じ圖に砂かみん限界状態線より $P = 1.49 \text{ kg/cm}^2$ の時の値である P が 2.829 と求まる。

ii) M: Roscoe 曲面で説明する際の基本式(エネルギー式)は、Cam-clay の場合次式であらわされる。

$$p' \cdot d\epsilon_{vv} + q' \cdot d\gamma = M \cdot p' \cdot |d\gamma| \quad (5)$$

$$\therefore 1 = d\gamma = d\epsilon_{vv} - \frac{1}{3} d\sigma'$$

三軸圧縮条件では、(5)式は次のようにならざる。

$$q' p' = - d\epsilon_{vv} + M \quad (5')$$

図-5は、正規圧密領域と考えられる側圧 15 kg/cm^2 , 30 kg/cm^2 の実験データを(5')式の関係で整理したものである。Mは図の試験軸切片の値であり、1.49と定めた。限界状態の概念によれば、初期の応力状態によらず、限界状態では q'/p' は一定となり、体積変化はなくなる。ところが、実際の三軸試験では強留状態での供試体の変形が一様でないことを避けるため、図のもの図-3, 4のように限界状態を得ることは困難である。砂質土のMを精度よく決定することは今後の課題であろう。

iii) h: 図-6は(3)式中の土質定数 h を決定するため OCR が 15, 5 である供試体のせん断過程でのピーカー強度の過剰状態を $\sigma' \sim \log \frac{d}{dr}$ の関係で整理したものである。図中の直線の傾きからの値であり、 $h = 1.353$ と求まる。

2.3 状態曲面

図-7は、「その1」で得られた実験データと 2.2 节で得られた土質定数を用いて説明した状態曲面を標準断面上に描いたものであり、図-4と対応して

3. Roscoe 曲面としちは(1), (2)式で示された Cam-clay, Modified Cam-clay が描かれている。図より、

しらすのようす砂質土の圧縮・せん断挙動を弾塑性モデルで表現しようとする場合に Cambridge Model が有用であることがわかる。

3. あとがき

側圧が 30 kg/cm^2 で可能な三軸室によるしらすの三軸実験を行い、しらすのような砂質土に対する Cambridge Model の適用の可能性が明らかにされた。今後は、(3)式を用いて結果をもとに具体的な構成式の説明を試みることとする。本研究は、昭和56年度科研費(総合A)の援助を受けたことに対し、謝意を表します。

(参考文献) Atkinson, J.H. and Bransby, P.L.: The Mechanics of Soils, McGraw-Hill, 1978, 2) 三浦: 土木論文報告集, 第22号, pp.127-130.

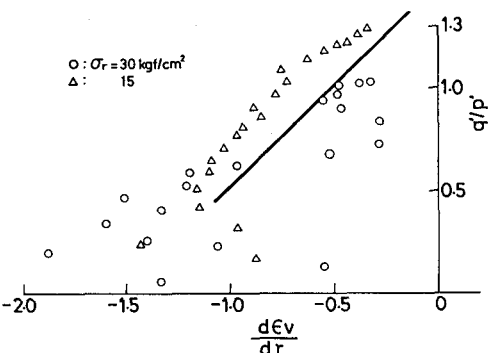


図-5 $\sigma'/p' \sim d\epsilon_{vv}/dr$ 関係

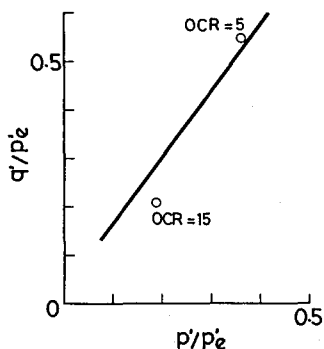


図-6 土質定数 h の決定

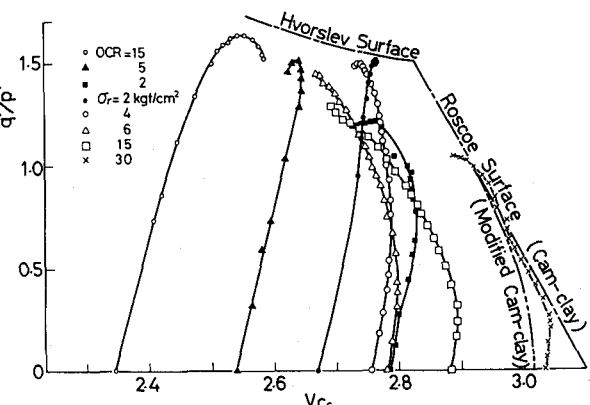


図-7 標準断面での理論曲線と実験データ